

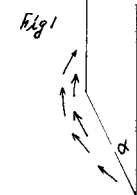
先端円錐杭の搅乱現象に就いて

名城大学理工学部 正会員 柴田道生

1. 緒言

現在、一般に使用施工されている基礎杭は、殆んど先端が円錐体である。

杭が地盤に貫入するとき、地盤をせん断、排除するのは、先端の円錐体であって、杭本体は、之に続けて貫入するだけである。従つて、杭の先端抵抗力、摩擦杭周面抵抗力は、円錐体に於ける地盤排削による地盤応力を重視する必要がある。筆者は、現行の杭の支持力の算定式に、先端円錐体の存在を全く無視された考へで、誘導されていゝ点に就いて検討を加へて、新しく支持力算定式を提案したと考へてゐる。いま、先端円錐角度を α とすると、 α の小さく杭ほど、支持力が大きく、 α が大きくなるに従ひ、或る限界はあるが、支持力の値が低減する傾向にある。杭は地盤に、前から存在していゝのでではなくて、杭が如何にして、地盤に貫入されたかを考へる必要がある。即ち、杭の貫入過程を重視して支持抵抗を考へるのでなくではなくてはならない。杭が貫入するとき、先端円錐体では、地盤の排除が行はれ、円錐体に沿つて地盤の圧縮圈が生ずる。この圧縮圏は、地盤抵抗を生ずるものであるが、この圧縮圏は、円錐角 α によつて異なり、地盤排除の排除率、円錐体面の摩擦係数を異にする。円錐体面に沿う摩擦抵抗力は、円錐面と本体との交差（後方に不連続点）に於いて、角度 α によつて鉛直方向上向きの地盤応力に変化する。実験によると、円錐面に沿う摩擦力は、Fig. 1 及 Fig. 2 に示すように、角度 α が、小さく、不連続点で土粒子の移動は、杭周に近接するよう、移動をはさむ、角度 α が大きいと、杭周より離れた移動となる。従つて、ここで、間隙比の大小と、考へて、搅乱現象が生ずる。即ち、不連続点で、土粒子の密度は、 α が小さければ、 α が大きい場合よりも密となる。



このようすの状態が、杭の進入に伴つて、杭周面に連続することになる。

従つて、角度 α の小さな杭では、杭周に於ける土粒子の密度は、角度 α の大きい杭の場合よりも密の状態にあると考へらねよう。

2. 不連続点に於ける地盤間隙比

いま、円錐面に沿う摩擦抵抗力を W_f とすると、不連続点で、杭本体に上向きに沿う抵抗力を W'_f とすると、 $W'_f = W_f \cos \alpha$ ----- (1)

一般に砂が圧縮されるとき、圧力 O_z と、間隙比 e の間に、側方への変形を許さないといすれば

$$e = -C_c \log_e O_z \quad \text{----- (2)} \quad \text{の関係がある。}$$

(2)式を O_z で微分すると

$$\frac{de}{dO_z} = -\frac{C_c}{2,3 O_z} \quad \text{但し } C_c : \text{圧縮指数}$$

ここで、間隙比の変化 de は

$$de = e_0 - e, \quad \text{但し } e_0 : \text{初期間隙比}$$

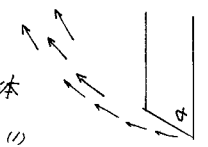


Fig. 2

e_r : 被压透の間隙比

一方、 $d\sigma_z$ の変化は $d\sigma_z = W_r' + \gamma z - \gamma z$ z : 深さ γ : 土の単位重量
筆者は W_r' を次のようすに算定した。

正縮圧に於ける土の圧縮抵抗力と正縮圧体積との比を f といふ

$$f = \frac{\text{土の圧縮抵抗力}}{\text{正縮圧体積}} (\text{kN/cm}^3)$$

即ち f は土の立方形圧縮強度を表すものとする。次に正縮圧の抵抗力 W_n は

$$W_n = \frac{d^2}{8} f \varphi \frac{\cos \varphi}{\cos(\alpha+\varphi) \sin \alpha} (\text{kN})$$

$$\text{但し } \Delta ACO \text{ の面積} = \frac{d^2}{8} \varphi \frac{\cos \varphi}{\cos(\alpha+\varphi) \sin \alpha}$$

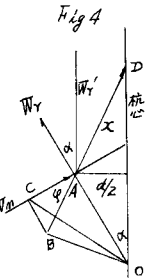
$$AB = \gamma x = \gamma \frac{d/2}{\cos(\alpha+\varphi)}$$

$$x = AD$$

φ : 土の内部摩擦角
 φ : 地盤の排水率

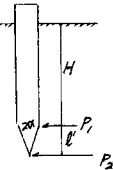
次に地盤と円錐面との摩擦係数を μ とすると 摩擦抵抗力 W_r は

$$W_r = W_n \mu = \frac{d^2}{8} f \mu \varphi \frac{\cos \varphi}{\cos(\alpha+\varphi) \sin \alpha} (\text{kN})$$



AO面に沿う W_r と A 点に於いて上向きの鉛直分力 W_r' に分力すると

$$W_r' = \frac{d^2}{8} f \mu \varphi \frac{\cos \varphi \cos \alpha}{\cos(\alpha+\varphi) \sin \alpha} (\text{kN})$$



又円錐部の高さを l' とすると W_r' を単位面積当たりに換算する

$$W_r' = \frac{d^2}{8} f \mu \varphi \frac{\cos \varphi \cos \alpha}{\cos(\alpha+\varphi) \sin \alpha} \frac{\pi d + o}{2} / \frac{\pi d + o}{2} l' (\text{kN/m}^2)$$

(3) 式に代入して e_r の値を求める

$$e_r = \frac{2.3 \delta Z e_o + \frac{c d^2}{8} f \mu \varphi \frac{\cos \varphi \cos \alpha}{\cos(\alpha+\varphi) \sin \alpha} l'}{2.3 \delta Z} \quad \dots \dots \dots (4)$$

但し d : 杠径 (cm)

ここで f の値は Fig 3, Fig 4 に於ける土の圧縮抵抗力を受ける土圧力と於て

$$f = \frac{(0.0022H + 0.0011l' + 21658)}{\left\{ \frac{d^2}{8} \varphi \frac{\cos \varphi}{\cos(\alpha+\varphi) \sin \alpha} \right\} \times \frac{\pi d}{2}} \frac{l' \pi ds}{2} \quad \varphi = 3^\circ \quad c = 3.4 \text{ kN/cm}^2$$

S: 円錐面の長さ

次に φ の値は 杠が任意の深さに置かれたときの 杠円錐面に直角に測つて 杠の移動量 l' m 杠円錐面に於ける地盤の圧縮量(不連續まで測定)を n とすると $\varphi = \frac{n}{l'}$

(4) 式に α , φ , f , μ , φ を代入すると e_r の値が得られる

又 α の小さいほど e_r の値は α の大きい場合より小さくなる。

即ち α の小さいほど、不連續まででは 積乱度が少なくてこれが立證された。ここで W_r , W_r' の式に含まれる f , μ , φ , l' の値は全て先端角度 2α によって変化するから 杠先端抵抗。

杭周摩擦抵抗もそれに応じて変化することになる。